

МИНОБРНАУКИ РОССИИ
Федеральное государственное бюджетное образовательное учреждение высшего
образования
**«САРАТОВСКИЙ НАЦИОНАЛЬНЫЙ ИССЛЕДОВАТЕЛЬСКИЙ
ГОСУДАРСТВЕННЫЙ УНИВЕРСИТЕТ ИМЕНИ Н.Г.ЧЕРНЫШЕВСКОГО»**

Кафедра математической теории упругости и биомеханики

**Задачи изгиба конструкции из тонкой пластины и цилиндрической
оболочки с учетом силовой нагрузки и температурного поля**

**АВТОРЕФЕРАТ МАГИСТЕРСКОЙ
РАБОТЫ**

Студента 2 курса 237 группы

направления 01.04.03 – Механика и математическое моделирование

Механико-математического факультета

Ву Хай Ань

Научный руководитель
доцент каф. МТУиБМ, к. ф.-м. н.

подпись, дата

Р. А. Сафонов

Заведующий кафедрой
профессор, д. ф.-м. н.

дата, подпись

Л.Ю. Коссович

Саратов 2019

Введение. Большинство инженерных разработок (самолёты, субмарины, резервуары и т. д.) строятся на основе так называемых тонкостенных оболочечных конструкций. Современная эксплуатация подобных систем включает в себя температурные и силовые нагрузки. Решение термоупругой задачи тонкостенных оболочечных конструкций является актуальной в связи с их достоинствами: пространственная жесткость и высокая несущая способность конструкции достигаются при существенной экономии материала. Также за счёт тонких стенок моделей достигается значительное уменьшение массы в сравнении с покрытиями из плоских элементов.

Количественное описание поведения оболочечных конструкций под действием механических и тепловых явлениях требуют выбора особых теоретических моделей механики сплошной среды.

Целью данной работы является решение задачи термоупругости для композиции, состоящей из оболочки вращения и пластины, гладко сопряженных между собой, вариационным методом.

Исходя из цели работы, были сформулированы следующие **задачи**:

1. Аналитическое исследование статических и динамических задач несвязной термоупругости пологих оболочек и геометрически нерегулярных пластин под действием локальных быстро возрастающих силовых и температурных нагрузок на границах и основных поверхностях методом суперпозиции тригонометрических рядов с переменными коэффициентами, многочленов и других функций.

2. Построение строгой континуальной математической модели композиций из оболочки вращения и пластины, гладко сопряженных между собой.

3. Численное решение краевых задач для композиций из оболочки вращения и пластины, гладко сопряженных между собой с учетом полученных аналитических зависимостей, и анализ полученных результатов.

Научная актуальность. При решении подобного рода задач наиболее эффективным и более простым с математической точки зрения является метод, который позволяет исходить из известных уравнений теории поверхностей. Эти уравнения могут быть применены к изучаемым моделям, если они будут представлены в виде двумерной геометрии, выраженной срединной поверхностью. Использование данного метода предполагает переход от трёхмерной постановки задачи к двумерной с определением параметров Ламе и главных кривизн срединной поверхности.

Научная новизна. На основании метода тригонометрических рядов с переменными коэффициентами, многочленов и других функций получены новые аналитические решения для статических задач несвязной термоупругости пологих оболочек и геометрически нерегулярных пластин под действием локальных и быстро возрастающих силовых и температурных воздействий на краях и основных поверхностях.

Структура и объем работы. Магистерская работа состоит из введения, трех разделов, заключения и списка используемых источников.

Раздел 1. Основные понятия и гипотезы теории оболочек и пластин. Термодинамика. Вариационные принципы

Раздел 2. Построение математической модели

Раздел 3. Численное решение и результаты исходных уравнений

Основное содержание работы. Введение магистерской выпускной квалификационной работы содержит информацию о состоянии разработок по изучаемой теме, а именно методы изучения и решения задач термоупругости; также обоснована актуальность темы, связь данной работы с другими исследовательскими работами; цель работы и задачи.

Первый раздел представленной работы посвящен теоретическим основам, используемым при построении теории термоупругости тонкостенных оболочечных конструкций, а также вариационным методам решения данного типа задач.

Основная часть второго раздела включает в себя построение математической модели изучаемой конструкции. Было построено аналитическое представление срединной поверхности изучаемых систем (цилиндр-пластина, цилиндр-пластина-цилиндр). Ниже приведены основные выкладки, которые используются для построения основной системы разрешающих уравнений.

Была рассмотрена композиция цилиндр-пластина. Предполагается, что элемент сложной композиции на участке $[0, a]$ является полой цилиндрической оболочкой, которая на линии $x = x_1$ сопрягается с прямоугольной пластиной, расположенной параллельно координатной плоскости и отстоящей на от неё на расстояние g^* .

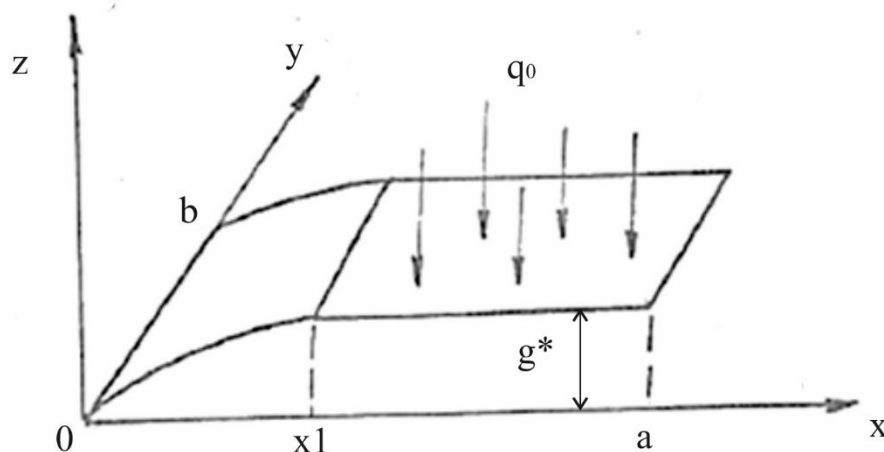


Рисунок 1 - Структурная композиция из пластины и цилиндра с распределенной силовой нагрузкой

Для исследуемой конструкции записывалась обобщенная функция, описывающая положения срединной поверхности [1]:

$$z(x) = \frac{2g^*}{x_1}x - \frac{g^*}{x_1^2}x^2 + \left[g^* - \frac{2g^*}{x_1}x + \frac{g^*}{x_1}x^2 \right] H(x - x_1) \quad (1)$$

Главные кривизны k_1 и k_2 поверхности $z(x)$ равны:

$$\begin{cases} k_1 = \frac{d^2z}{dx^2} = -\frac{2g^*}{x_1^2} + \frac{2g^*}{x_1^2}H(x - x_1) \\ k_2 = 0 \end{cases} \quad (2)$$

В данной работе была рассмотрена более усложненная модель, представленная на рисунке 2.

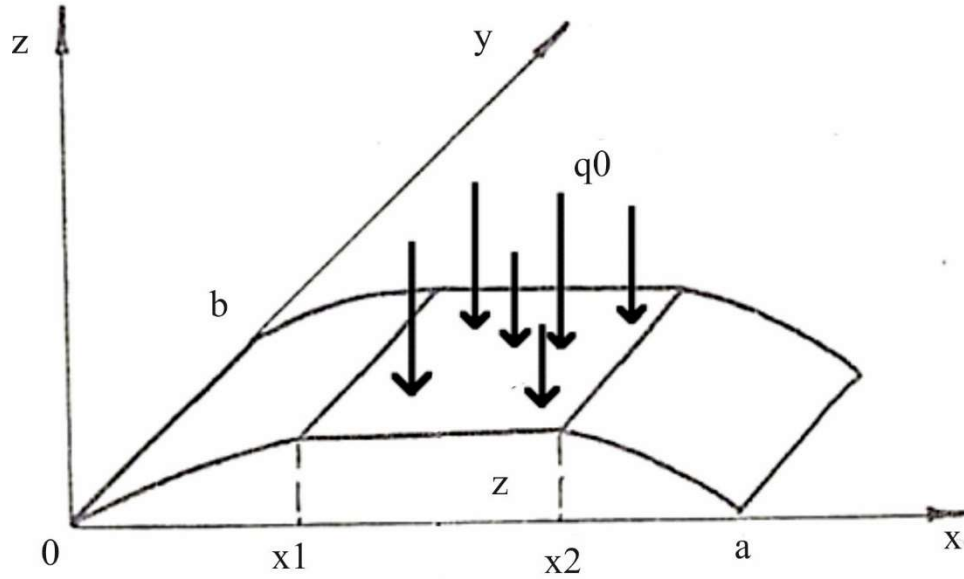


Рисунок 2 - Структурная композиция из цилиндра-пластины-цилиндра с распределенной силовой нагрузкой на пластине

Для модели, представленной на рисунке 2, функция, описывающая срединную поверхность, будет иметь следующий вид [1]:

$$z(x) = \frac{2g^*}{x_1} x - \frac{g^*}{x_1^2} x^2 + \left[g^* - \frac{2g^*}{x_1} x + \frac{g^*}{x_1} x^2 \right] H(x - x_1) + \quad (3)$$

$$+ \left[\frac{g^*}{(a - x_2)^2} (a^2 - 2x_2 a + 2x_2 x - x^2) - g^* \right] H(x - x_2).$$

Главные кривизны k_1 и k_2 поверхности $z(x)$ равны:

$$\begin{cases} k_1 = \frac{d^2 z}{dx^2} = -\frac{2g^*}{x_1^2} + \frac{2g^*}{x_1^2} H(x - x_1) - \frac{2g^*}{(a - x_2)^2} H(x - x_2) \\ k_2 = 0. \end{cases} \quad (4)$$

На основании полученных равенств (2) и (4) строилась система разрешающих уравнений термоупругой системы [2].

Для двухэлементной структуры система выглядит следующим образом:

$$\sum_{k,m} \left(-\left(\frac{k\pi}{a}\right)^2 u_{km} - \frac{1-\nu}{2} \left(\frac{m\pi}{b}\right)^2 u_{km} - \frac{1+\nu}{2} \frac{mk\pi^2}{ab} v_{km} - \right.$$

$$\left. -\frac{2g^*}{x_1^2} H(x - x_1) \frac{k\pi}{a} w_{km} + \frac{2g^*}{x_1^2} \frac{k\pi}{a} w_{km} \right) \cos \frac{k\pi x}{a} \sin \frac{m\pi y}{b} -$$

$$-\frac{2g^*}{x_1^2} \sum_{k,m} w_{km} \delta(x - x_1) \sin \frac{k\pi x}{a} \sin \frac{m\pi y}{b} = 0;$$

$$\sum_{k,m} \left\langle -\frac{1+\nu}{2} \frac{mk\pi^2}{ab} u_{km} - \left(\frac{m\pi}{b}\right)^2 v_{km} - \frac{1-\nu}{2} \left(\frac{k\pi}{a}\right)^2 v_{km} + \frac{2\nu g^*}{x_1^2} w_{km} - \frac{2\nu g^*}{x_1^2} H(x-x_1) \frac{m\pi}{b} w_{km} \right\rangle \sin \frac{k\pi x}{a} \cos \frac{m\pi y}{b} = 0; \quad (5)$$

$$\sum_{k,m} \left\langle \left[\left(\frac{k\pi}{a}\right)^4 + 2 \left(\frac{k\pi}{a}\right)^2 \left(\frac{m\pi}{b}\right)^2 + \left(\frac{m\pi}{b}\right)^4 + \frac{12}{h^2} \left(\frac{4g^{*2}}{x_1^2} - \frac{4g^{*2}}{x_1^2} H(x-x_1) \right) \right] w_{km} - \frac{12}{h^2} \left(\frac{2g^*}{x_1^2} H(x-x_1) - \frac{2g^*}{x_1^2} \right) \left(\frac{\partial u}{\partial x} + \nu \frac{\partial v}{\partial y} \right) + \frac{\alpha}{h} (1+\nu) \left[\left(\frac{k\pi}{a}\right)^2 + \left(\frac{m\pi}{b}\right)^2 \right] \frac{16}{km\pi^2} \left[\frac{\frac{6\kappa}{\lambda h} (T^+ - T^-)}{\left(\frac{k\pi}{a}\right)^2 + \left(\frac{m\pi}{b}\right)^2 + \left(\frac{6\kappa}{\lambda h} + \frac{12}{h^2}\right)} \right] \right\rangle \times \times \sin \frac{k\pi x}{a} \sin \frac{m\pi y}{b} = \frac{12q(1-\nu^2)}{Eh^3}.$$

Для трёхэлементной композиции система разрушающих уравнений имеет вид:

$$\sum_{k,m} \left\langle -\left(\frac{k\pi}{a}\right)^2 u_{km} - \frac{1-\nu}{2} \left(\frac{m\pi}{b}\right)^2 u_{km} - \frac{1+\nu}{2} \frac{mk\pi^2}{ab} v_{km} + w_{km} \frac{k\pi}{a} \left(\frac{2g^*}{x_1^2} - \frac{2g^*}{x_1^2} H(x-x_1) + \frac{2g^*}{(x_2-a)^2} H(x-x_2) \right) \right\rangle \cos \frac{k\pi x}{a} \sin \frac{m\pi y}{b} + \sum_{k,m} \left[\frac{2g^*}{x_1^2} \delta(x-x_1) - \frac{2g^*}{(x_2-a)^2} \delta(x-x_2) \right] w_{km} \sin \frac{k\pi x}{a} \sin \frac{m\pi y}{b} = 0;$$

$$\sum_{k,m} \left\langle -\frac{1+\nu}{2} \frac{mk\pi^2}{ab} u_{km} - \left(\frac{m\pi}{b}\right)^2 v_{km} - \frac{1-\nu}{2} \left(\frac{k\pi}{a}\right)^2 v_{km} + \nu \frac{m\pi}{b} w_{km} \left[\frac{2g^*}{x_1^2} - \frac{2g^*}{x_1^2} H(x-x_1) + \frac{2g^*}{(x_2-a)^2} H(x-x_2) \right] \right\rangle \sin \frac{k\pi x}{a} \cos \frac{m\pi y}{b} = 0; \quad (6)$$

$$\sum_{k,m} \left\langle \left[\left(\frac{k\pi}{a}\right)^4 + 2 \left(\frac{k\pi}{a}\right)^2 \left(\frac{m\pi}{b}\right)^2 + \left(\frac{m\pi}{b}\right)^4 + \frac{12}{h^2} \left(\frac{4g^{*2}}{x_1^4} + \left(\frac{4g^{*2}}{(x_2-a)^2} + \frac{4g^{*2}}{x_1^2(x_2-a)^2} \right) H(x-x_2) \right) \right] w_{km} + \frac{12}{h^2} \left(\frac{2g^*}{x_1^2} - \frac{2g^*}{x_1^2} H(x-x_1) + \frac{2g^*}{(x_2-a)^2} H(x-x_2) \right) \left(\frac{\partial u}{\partial x} + \nu \frac{\partial v}{\partial y} \right) + \frac{\alpha}{h} (1+\nu) \left[\left(\frac{k\pi}{a}\right)^2 + \left(\frac{m\pi}{b}\right)^2 \right] \frac{16}{km\pi^2} \left[\frac{\frac{6\kappa}{\lambda h} (T^+ - T^-)}{\left(\frac{k\pi}{a}\right)^2 + \left(\frac{m\pi}{b}\right)^2 + \left(\frac{6\kappa}{\lambda h} + \frac{12}{h^2}\right)} \right] \right\rangle \times$$

$$\times \sin \frac{k\pi x}{a} \sin \frac{m\pi y}{b} = \frac{12q(1 - \nu^2)}{Eh^3}.$$

Проведя преобразования по методу Галёркина для систем (5), (6), избавились от тригонометрического ряда и перешли к системе линейных алгебраических уравнений (СЛАУ) относительно u_{km}, v_{km}, w_{km} .

В третьей главе проведено численное решение СЛАУ и получены следующие результаты для модели с параметрами $a=2, b=1, x_1=1, T_2=200$:

$$\begin{aligned} u_{11} &= 1.052 * 10^{-6}; \\ v_{11} &= 1.01 * 10^{-6}; \\ w_{11} &= 2.559 * 10^{-5}. \end{aligned} \quad (7)$$

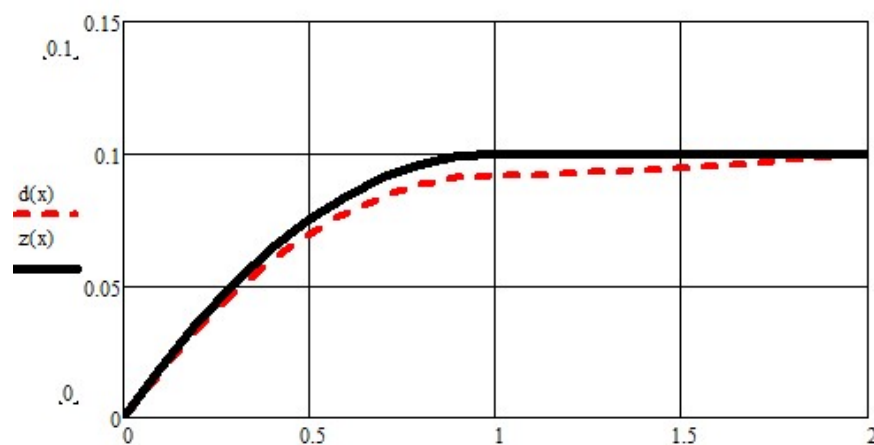


Рисунок 3 - Схематичный профиль срединной поверхности исследуемой модели: до и после нагружения ($a=2, b=1, x_1=1, T_2=200$)

На рисунке 3 и на следующих графиках пунктирной сплошной черной линией будет показан профиль недеформированной срединной поверхности; пунктирной красной линией – профиль под действием силовых и температурных напряжений.

Для данной модели были также посчитаны значения прогиба без учета температурных напряжений. Значение прогиба при одном только силовом воздействии составило $w_{11} = 2.359 * 10^{-5}$ м.

Для модели, состоящей из трёх элементов ($a=3, b=1, x_1=1, x_2=2, T_2=200$) были получены следующие максимальные значения деформаций:

$$\begin{aligned} u_{11} &= 1.749 * 10^{-5}; \\ v_{11} &= -1.043 * 10^{-5}; \\ w_{11} &= 1.489 * 10^{-4}; \end{aligned} \quad (8)$$

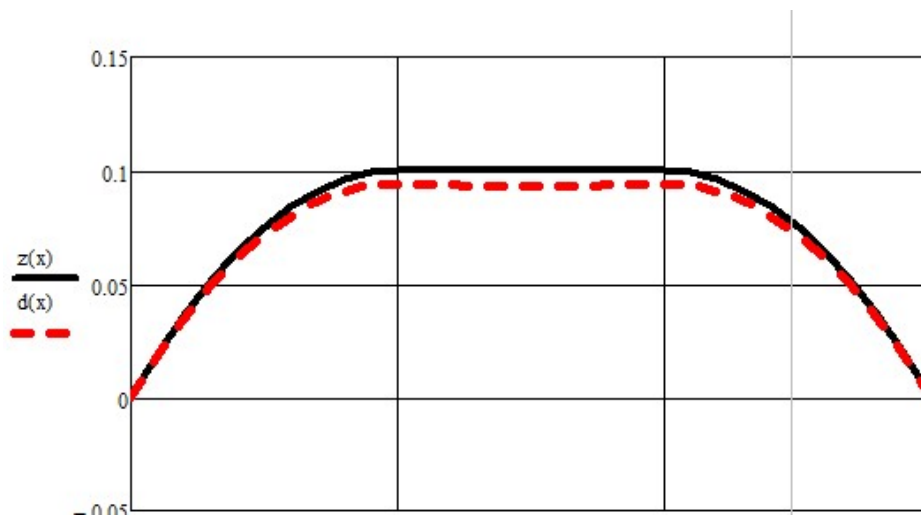


Рисунок 4 - Схематичный профиль срединной поверхности исследуемой модели ($a=3$, $b=1$, $x_1=1$, $x_2=2$, $T_2=200$)

Для данной модели были также посчитаны значения прогиба без учета температурных напряжений. Максимальное значение прогиба при одном только силовом воздействии составило $w_{11} = 1.372 \cdot 10^{-4}$ м.

По полученным данным был проведен анализ, который показал, что функция прогиба с увеличением разности температуры на поверхности и окружающей среды представляет собой нелинейно монотонно возрастающую функцию с выпуклостью вниз. Кривизна графика для композиции цилиндр-пластина-цилиндр выражена больше чем для композиции цилиндр-пластина.

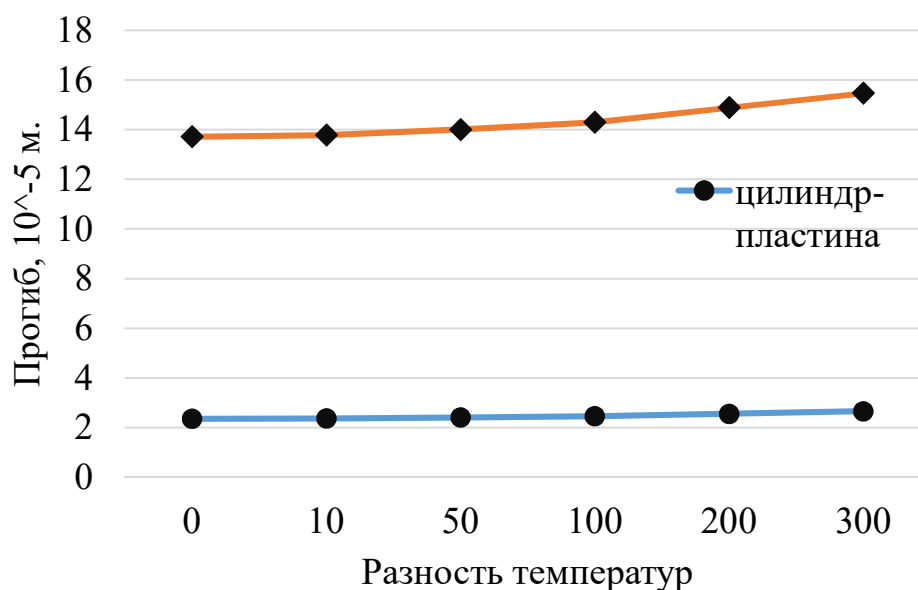


Рисунок 6 – График зависимости функции прогиба от температуры

На рисунке 7 наблюдается следующая картина. С увеличением ширины все оболочечной конструкции в двух модулях наблюдается монотонно убывающий характер функции прогиба.

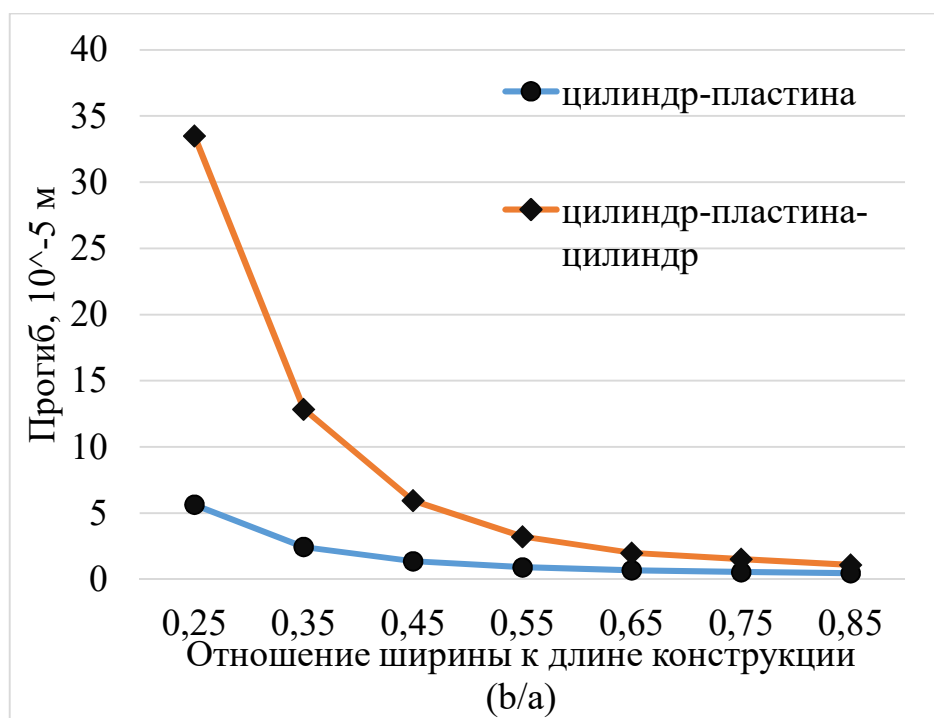


Рисунок 7 – График зависимости прогиба конструкции от изменения геометрических размеров

Как и в случае с изменением температуры - двухэлементная конструкция является более жесткой.

Заключение. В ходе проделанной работы на основании метода тригонометрических рядов с переменными коэффициентами, многочленов и других функций получены новые аналитические решения для статических задач несвязной термоупругости пологих оболочек и геометрически нерегулярных пластин под действием локальных и быстро возрастающих силовых и температурных воздействий на краях и основных поверхностях.

Для исследуемых моделей по геометрическим свойствам оболочек вращения, гладко сопряженных между собой, были построены строгие континуальные модели. В рассмотренных случаях показано, что сингулярные параметры Ламе и главные кривизны композиции удовлетворяют условиям Кодацци-Гаусса, что позволяет при решении данного рода задач исходить из

различных по степеням точности уравнений теории тонких оболочек в триортогональных криволинейных координатах.

Вариационным путем и методом Галёркина получены уравнения термоупругости из оболочек вращения с термочувствительной толщиной в компонентах поля перемещения. Для композиции из двух элементов (цилиндр-пластина) определены сингулярные коэффициенты в уравнениях теплопроводности и термоупругости.

Решены задачи несвязной термоупругости для полой оболочки постоянного кручения (пластины) и цилиндрической оболочки подверженных резкому перепаду температур со стороны окружающей среды. Решение сводилось к интегрированию системы дифференциальных уравнений четвертого порядка в частных производных относительно пространственных переменных. В первом приближении были получены численные значения деформаций, исследуемых систем. На основании полученных результатов проводился сравнительный анализ влияния температурных и геометрических параметров на величины прогибов термоупругих систем.

Список использованных источников:

- 1 Белосточный Г. Н. Оболочки и геометрически нерегулярные пластинки с термочувствительной толщиной. // Г. Н. Белосточный, Е. А. Русина // Доклады Российской академии естественных наук. Поволжское межрегиональное отделение 1999. №1. С. 28-37.
- 2 Амбарцумян С. А. Теория анизотропных пластин. Прочность, устойчивость и колебания. / С. А. Амбарцумян. -2-е изд., перераб. и доп. – М.: Наука, 1987. - 360 с.
- 3 Амбарцумян С. А. Общая теория анизотропных оболочек / С. А. Амбарцумян. – М.: Наука, 1974. - 448 с.
- 4 Гольденвейзер А. Л. Методы обоснования и уточнения теории оболочек. / А. Л. Гольденвейзер. – ПММ.: 1968 – Т. 32 №4.
- 5 Белосточный Г. Н. Уравнения термоупругости композиций из оболочек вращения. / Г. Н. Белосточный, О. А. Мыльцина. – Вестник Саратовского

- государственного технического университета - Саратов: Издательство СГТУ. Т.4, №1 2011 г. С 56-64.
- 6 Белосточный Г. Н. К вопросу статической устойчивости композиции из различных, по геометрическим свойствам, оболочек вращения. / Г. Н. Белосточный, О. А. Мыльцина. // Доклады академии военных наук. Т. 54, №5, ОАО «КБ ЭЛЕКТРОПРИБОР». - Саратов, 2012. С 21-25.
 - 7 Абовский Н. П. Вариационные принципы теории упругости и теории оболочки. / Н. П. Абовский, Н. П. Андреев, А. П. Деруга. – М.: Наука, 1978. - 288 с.
 - 8 Новожилов В. В. Теория тонких оболочек / В. В. Новожилов. – Л.: Судпромгиз, 1962, 431 с.
 - 9 Канторович Л. В. Приближенные методы высшего анализа / Л. В. Канторович, В. И. Крылов. – М.: Государственное издательство физико-математической литературы. 1962. – 708 с.
 - 10 Новожилов В. В. Линейная теория оболочек / В. В. Новожилов, К. Ф. Черных, Е. И. Михайловский. – Ленинград: «Политехника», 1991. – 656 с.
 - 11 Мыльцина О. А. Термоупругость геометрически нерегулярных пластин и оболочек под действием быстропеременных температурных и силовых воздействий: дис. ... канд. ф.м. наук: 01.02.04: защищена 14.06.2017 / О. А. Мыльцина; науч. рук. Г. Н. Белосточный; Саратовский национальный исследовательский государственный университет имени Н. Г. Чернышевского. – Саратов, 2017. - 198 с.
 - 12 Волков И. К. Интегральные преобразования и операционное исчисление/ И. К. Волков, А. Н. Канатников; под ред. В. С. Зарубина, А. П. Крищенко. — 2-е изд., перераб. и доп. — М.: Изд-во МГТУ им. Н. Э. Баумана, 2002. — 228 с.
 - 13 Гольденвейзер А. Л. Теория тонких упругих оболочек. / А. Л. Гольденвейзер. -2-е изд., перераб. и доп. - М.: Наука, 1976. 512 с.
 - 14 Власов В. З. Общая теория упругих оболочек и её приложение в технике. / В. З. Власов. - М.: Гостехиздат, 1949. 784 с.

- 15 Подстригач Я. С. Термоупругость тонких оболочек. / Я. С. Подстригач, Р. Н. Швец. - К.: «Наук. думка», 1978, 344 с.
- 16 Fu Geo Lin. Generalized variational principles in thermoelasticity. – Scientia Sinica. 1964, 13, №9, pp. 1507-1509.
- 17 Био М. А. Термоупругость и термодинамика необратимых процессов. / М. А. Био. Сборник пер. «Механика», 1957, №3, с. 68-92.
- 18 Новацкий В. Динамические задачи термоупругости. / В. Новацкий. - М., «Мир», 1970, 344 с.
- 19 Белосточный Г. Н. Нестационарное уравнение теплопроводности подкрепленных оболочек и некоторое решение задачи термоупругости ребристых пластин и оболочек с учетом связности полей температуры и деформаций. / Г. Н. Белосточный, В. М. Рассудов. // Саратовский политехнический институт. – Саратов, 1984. С. 49.
- 20 Антосик П. Теория обобщенных функций. / П. Антосик, Я. Микунский, Р. Сикорский. - М.: Изд-во «Мир», 1976. 311 с.